

(19) 日本国特許庁(JP)

(12) 公開特許公報(A)

(11) 特許出願公開番号

特開2020-52215
(P2020-52215A)

(43) 公開日 令和2年4月2日(2020.4.2)

(51) Int.Cl. F 1 テーマコード (参考)
G 0 9 C 1 / 0 0 (2 0 0 6 . 0 1) G 0 9 C 1 / 0 0 6 2 0 B 5 J 1 0 4

審査請求 未請求 請求項の数 17 O L (全 26 頁)

(21) 出願番号	特願2018-180880 (P2018-180880)	(71) 出願人	391016358 東芝情報システム株式会社 神奈川県川崎市川崎区日進町1番地53
(22) 出願日	平成30年9月26日 (2018.9.26)	(74) 代理人	100090169 弁理士 松浦 孝
		(74) 代理人	100074147 弁理士 本田 崇
		(74) 代理人	100124497 弁理士 小倉 洋樹
		(72) 発明者	岩野 隆 神奈川県川崎市川崎区日進町1番地53 東芝情報システム株式会社内
		Fターム(参考)	5J104 JA28

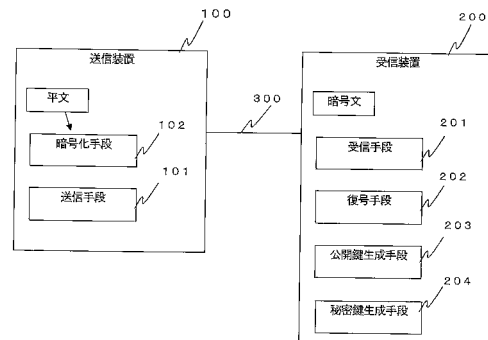
(54) 【発明の名称】 公開鍵暗号システム、公開鍵暗号方法、公開鍵暗号プログラム

(57) 【要約】

【課題】演算コストの低減を図ることが可能な公開鍵暗号システムを提供する。

【解決手段】公開鍵を用いて平文を暗号化し暗号文を送る送信装置100と、送信された暗号文を受信し、前記公開鍵に対応する秘密鍵を用いて復号し平文へ戻す受信装置200とを備える公開鍵暗号システムである。前記送信装置100は、前記公開鍵を用いてベルヌーイシフト写像を実行して平文を暗号文へ変換する暗号化手段102を備えており、前記受信装置200は、前記秘密鍵を用いてベルヌーイシフト写像を実行して暗号文を平文へ変換する復号手段202を備えている。

【選択図】 図1



【特許請求の範囲】**【請求項 1】**

公開鍵を用いて平文を暗号化し暗号文を送る送信装置と、送信された暗号文を受信し、前記公開鍵に対応する秘密鍵を用いて復号し平文へ戻す受信装置とを備える公開鍵暗号システムにおいて、

前記送信装置は、前記公開鍵を用いてベルヌーイシフト写像を実行して平文を暗号文へ変換する暗号化手段を備えており、

前記受信装置は、前記秘密鍵を用いてベルヌーイシフト写像を実行して暗号文を平文へ変換する復号手段を備えていることを特徴とする公開鍵暗号システム。

【請求項 2】

前記送信装置が、ベルヌーイシフト写像の初期値を暗号化の度に変更する送信側初期値変更制御手段を備えており、

前記受信装置が、暗号文を復号する度にベルヌーイシフト写像の初期値を、前記送信側初期値変更制御手段によって変更された初期値と同じ値に変更する受信側初期値変更制御手段と、前記受信側初期値変更制御手段により変更された初期値を用いて前記暗号文の逆元を算出する逆元算出手段とが備えられていることを特徴とする請求項 1 に記載の公開鍵暗号システム。

【請求項 3】

前記初期値となる乱数種を生成する乱数種生成手段を有し、

前記暗号化手段は、前記乱数種生成手段により生成された乱数種と前記公開鍵を用いてベルヌーイシフト写像を実行して平文を暗号文へ変換し、

前記受信装置には、前記暗号文を前記乱数種生成手段により生成された乱数種を用いて前記暗号文の逆元を算出する逆元算出手段が備えられ、

前記復号手段は、前記逆元算出手段により算出された逆元に対し、ベルヌーイシフト写像を実行して暗号文を平文へ変換することを特徴とする請求項 2 に記載の公開鍵暗号システム。

【請求項 4】

前記乱数種生成手段は、暗号文の生成毎に新たな乱数種を生成し、前記送信側初期値変更制御手段及び前記受信側初期値変更制御手段へ与えることを特徴とする請求項 3 に記載の公開鍵暗号システム。

【請求項 5】

前記乱数種生成手段は前記送信装置に設けられ、この送信装置では生成した乱数種を前記公開鍵を用いて前記暗号化手段においてベルヌーイシフト写像を実行して暗号化し、暗号化した乱数種を前記受信装置へ送り、

前記受信装置では、受信した暗号化された乱数種を前記復号手段で復号して用いることを特徴とする請求項 4 に記載の公開鍵暗号システム。

【請求項 6】

前記乱数種生成手段は、暗号文の生成に際して乱数種の元となる元乱数種を 1 つ生成し、この元乱数種に基づき新たな乱数種を暗号文の生成毎に生成して前記送信側初期値変更制御手段へ与える一方、前記受信装置へは前記元乱数種を与える処理を行い、

前記受信装置には、暗号文の復号毎に元乱数種に基づき前記乱数種生成手段によって生成される前記新たな乱数種と同期した乱数種を生成する受信側乱数種生成手段が備えられ、この受信側乱数種生成手段により生成された乱数種を前記逆元算出手段へ与えて逆元算出を行うことを特徴とする請求項 3 に記載の公開鍵暗号システム。

【請求項 7】

前記公開鍵を生成する公開鍵生成手段が、前記受信装置に設けられていることを特徴とする請求項 1 乃至 6 のいずれか 1 項に記載の公開鍵暗号システム。

【請求項 8】

前記秘密鍵を生成する秘密鍵生成手段が、前記受信装置に設けられていることを特徴とする請求項 1 乃至 7 のいずれか 1 項に記載の公開鍵暗号システム。

10

20

30

40

50

【請求項 9】

公開鍵を用いて平文を暗号化し暗号文を送る送信装置と、送信された暗号文を受信し、前記公開鍵に対応する秘密鍵を用いて復号し平文へ戻す受信装置とを備える公開鍵暗号システムにより実行される公開鍵暗号方法において、

前記送信装置では、前記公開鍵を用いてベルヌーイシフト写像を実行して平文を暗号文へ変換する暗号化ステップを備えており、

前記受信装置では、前記秘密鍵を用いてベルヌーイシフト写像を実行して暗号文を平文へ変換する復号ステップを備えていることを特徴とする公開鍵暗号方法。

【請求項 10】

前記送信装置には、ベルヌーイシフト写像の初期値を暗号化の度に変更する送信側初期値変更制御ステップが備えられており、

前記受信装置には、暗号文を復号する度にベルヌーイシフト写像の初期値を、前記送信側初期値変更制御手段によって変更された初期値と同じ値に変更する受信側初期値変更制御ステップと、前記受信側初期値変更制御ステップにより変更された初期値を用いて前記暗号文の逆元を算出する逆元算出ステップとが備えられていることを特徴とする請求項 9 に記載の公開鍵暗号方法。

【請求項 11】

前記初期値となる乱数種を生成する乱数種生成ステップを有し、

前記暗号化ステップでは、前記乱数種生成ステップにより生成された乱数種と前記公開鍵を用いてベルヌーイシフト写像を実行して平文を暗号文へ変換し、

前記受信装置には、前記暗号文を前記乱数種生成ステップにより生成された乱数種を用いて前記暗号文の逆元を算出する逆元算出ステップが備えられ、

前記復号ステップは、前記逆元算出ステップにより算出された逆元に対し、ベルヌーイシフト写像を実行して暗号文を平文へ変換することを特徴とする請求項 10 に記載の公開鍵暗号方法。

【請求項 12】

前記乱数種生成ステップでは、暗号文の生成毎に新たな乱数種を生成し、前記送信側初期値変更制御ステップ及び前記受信側初期値変更制御ステップへ与えることを特徴とする請求項 11 に記載の公開鍵暗号方法。

【請求項 13】

前記乱数種生成ステップは前記送信装置に設けられ、この送信装置では生成した乱数種を前記公開鍵を用いて前記暗号化手段においてベルヌーイシフト写像を実行して暗号化し、暗号化した乱数種を前記受信装置へ送るステップを有し、

前記受信装置では、受信した暗号化された乱数種を前記復号ステップで復号して用いることを特徴とする請求項 12 に記載の公開鍵暗号方法。

【請求項 14】

前記乱数種生成ステップは、暗号文の生成に際して乱数種の元となる元乱数種を 1 つ生成し、この元乱数種に基づき新たな乱数種を暗号文の生成毎に生成して前記送信側初期値変更制御ステップへ与える一方、前記受信装置へは前記元乱数種を与える処理を行い、

前記受信装置には、暗号文の復号毎に元乱数種に基づき前記乱数種生成ステップによって生成される前記新たな乱数種と同期した乱数種を生成する受信側乱数種生成ステップが備えられ、この受信側乱数種生成ステップにより生成された乱数種を前記逆元算出ステップへ与えて逆元算出を行うことを特徴とする請求項 11 に記載の公開鍵暗号方法。

【請求項 15】

前記公開鍵を生成する公開鍵生成ステップが、前記受信装置に設けられていることを特徴とする請求項 9 乃至 14 のいずれか 1 項に記載の公開鍵暗号方法。

【請求項 16】

前記秘密鍵を生成する秘密鍵生成ステップが、前記受信装置に設けられていることを特徴とする請求項 9 乃至 15 のいずれか 1 項に記載の公開鍵暗号方法。

【請求項 17】

10

20

30

40

50

公開鍵暗号システムのコンピュータを請求項 1 乃至 8 の各手段として機能させることを特徴とする公開鍵暗号プログラム。

【発明の詳細な説明】

【技術分野】

【0001】

この発明は、公開鍵暗号システム、公開鍵暗号方法、公開鍵暗号プログラムに関するものである。

【背景技術】

【0002】

従来、公開鍵暗号方式としては、RSA暗号が知られている。このRSA暗号の基本は、冪乗を行って、法(modulo)を取る演算であり、余りを掛け算していくことで演算精度幅を大きくすることなく剰余を行うなど演算コストを削減する手法や冪乗法が用いられることが知られている。即ち、この特許文献1の発明では、CPUの空き時間をRSA暗号では、法を取る計算において剰余算が必須であり、割り算を行うために演算コストがかかってしまう。

10

【0003】

上記のRSA(Rivest-Shamir-Adleman)暗号処理を採用したものは、特許文献1に紹介されている。この特許文献1には、RSA暗号では、演算負荷が大きく、処理能力の低い組み込み機器のCPUでは、CPUを占有する時間が長くなるといった問題が指摘され、これを解決するために、CPUの空き時間をできる限り少なくなるように、非均等に分割し、短時間でRSA暗号処理を完了させることが開示されている。

20

【0004】

また、RSA暗号の弱点としては、決まりきった平文として“Yes”か“No”のみにより構成される場合、同じ平文を同じ公開鍵で暗号化するために行い続けると暗号文に限られるため平文が見破られるといった問題がある。これを解決するために平文に乱数を付加して毎回の暗号文を見かけ上変更して送信する手法が取り入れられている。しかしながら、この手法では、受信者が復号してから乱数部分を取り除くといった手間が必要であること、また乱数の付加によって平文のサイズが増加するという問題がある。そして、このような乱数を付加する形態では、仮に公開鍵暗号の秘密鍵が第三者に知られてしまった場合には、復号後に乱数部分を取り除くことで平文が特定されてしまう欠点がある。

30

【0005】

また、特許文献2には、共有鍵を安全に共有することが可能な暗号化方式が開示されている。この特許文献2においては、一時鍵発生手段22が乱数である一時鍵riを発生し、この一時鍵riを暗号化手段14が第1初期鍵ki1を用いて暗号化し暗号文ci1を得て、送信手段20が暗号文ci1を受信装置50に送信する。上記暗号化手段14は、上記一時鍵riを第2初期鍵ki2により暗号化し、共有鍵ksを得る。一方、受信装置50は、暗号文ci1を受信し、復号化手段56に供給し、復号化手段56は、暗号文ci1を復号化して、元の一時鍵riを得る。暗号化手段54が第2初期鍵ki2を用いてこの一時鍵riを暗号化することによって、送信装置10側と同様に受信装置50側でも共有鍵ksを得ることができる。以降、この共有鍵ksを用いて秘密の通信を行うというものである。

40

【0006】

特許文献3には、情報を暗号化して伝送するのに好適な暗号通信システムが開示されている。この特許文献3のものは、暗号通信システム101の送信装置131と受信装置151とは、それぞれ秘密鍵と公開鍵を生成するとともに、現在時刻をもとに乱数を生成し、この乱数を用いてセッション鍵を作り、RSA暗号の技術を用いてセッション鍵を共有するものである。共有されたセッション鍵は、乱数の暗号化にも用いられ、暗号化された乱数を復号したときに元の乱数と一致することによって、セッション鍵を認証する。認証されたセッション鍵により伝送すべき情報をベクトルストリーム暗号によって暗号化し伝

50

送することで、通信の秘密を保つことができる。

【0007】

特許文献4には、高速演算が可能な新規なカオスの時系列を探索し、このカオスの時系列を用いてカオス発生装置やカオス暗号装置などを実現することが開示されている。具体的には、このカオス発生装置は、変数 n の増加に従って急激に増加する関数 $f_i(n)$ [$i = 1 \sim L$ 、 $L - 1$]に対し素数 m_i [$i = 1 \sim L$ 、 $L - 1$]を設定する手段、変数 n の初期値 n_0 に対して $f_i(n_0)$ から素数 m_i を法として剰余 $r_i(n_0)$ [$i = 1 \sim L$ 、 $L - 1$]を導出する初期値演算手段、 $f_i(n+1)$ の計算では剰余 $r_i(n)$ を利用して素数 m_i を法として導出された剰余 $r_i(n+1)$ を導出する反復演算手段、変数 n を n_0 から順次増大させながら前記剰余 $r_i(n)$ [$i = 1 \sim L$ 、 $L - 1$]を通して生成される一意の値を有するカオスの時系列 X_n を出力するカオス信号出力手段により構成される。

10

【0008】

更に、特許文献5には、 R/W から乱数生成の初期値を暗号フレームに包含/送付し、乱数種を暗号フレーム毎に変化させることで、RFIDの利便性を確保しつつ、暗号解読を困難にする暗号化方法が開示されている。この特許文献5の発明では、リーダ/ライタが、下り暗号フレームの送信の前に、前回送信した下り暗号フレームに包含した付与データを格納する第1の付与データ格納手段の格納値を元に乱数種を生成し、乱数種を初期値として第1の乱数生成手段にて生成する乱数データを元に暗号化/復号化を行うものである。一方、タグでは、下り暗号フレームの受信の前に、前回受信した下り暗号フレームに包含する付与データを格納する第2の付与データ格納手段の格納値を元に乱数種を生成し、乱数種を初期値として第2の乱数生成手段にて生成する乱数データを元に復号化/暗号化を行うものである。

20

【先行技術文献】

【特許文献】

【0009】

【特許文献1】特開2011-75611号公報

【特許文献2】特開2006-254417号公報

【特許文献3】特開2006-67412号公報

【特許文献4】特開2005-17612号公報

【特許文献5】特開2009-10597号公報

30

【発明の概要】

【発明が解決しようとする課題】

【0010】

上記の従来暗号化の手法によると、秘匿性の観点からのものが多く、処理の過程に含まれる割算など演算コストが高い処理の低減につながるようなものではなかった。本実施形態では、演算コストの低減を図ることが可能な公開鍵暗号システム、公開鍵暗号方法、公開鍵暗号プログラムを提供する。

【課題を解決するための手段】

【0011】

実施形態に係る公開鍵暗号システムは、公開鍵を用いて平文を暗号化し暗号文を送る送信装置と、送信された暗号文を受信し、前記公開鍵に対応する秘密鍵を用いて復号し平文へ戻す受信装置とを備える公開鍵暗号システムにおいて、前記送信装置は、前記公開鍵を用いてベルヌーイシフト写像を実行して平文を暗号文へ変換する暗号化手段を備えており、前記受信装置は、前記秘密鍵を用いてベルヌーイシフト写像を実行して暗号文を平文へ変換する復号手段を備えていることを特徴とする。

40

【図面の簡単な説明】

【0012】

【図1】本発明に係る公開鍵暗号システムの第1の実施形態の構成を示すブロック図。

【図1A】本発明に係る公開鍵暗号システムの第2の実施形態の構成を示すブロック図。

50

【図 1 B】本発明に係る公開鍵暗号システムの第 3 の実施形態の構成を示すブロック図。

【図 1 C】本発明に係る公開鍵暗号システムの第 4 の実施形態の構成を示すブロック図。

【図 1 D】本発明に係る公開鍵暗号システムの第 5 の実施形態の構成を示すブロック図。

【図 2】本発明に係る公開鍵暗号システムの実施形態において用いるベルヌーイシフト写像のマッピングを示す図。

【図 3】本発明に係る公開鍵暗号システムの実施形態において用いるベルヌーイシフト写像の結果の時系列を示す図。

【図 4】傾き係数 $A = 2$ の時のベルヌーイシフト写像と合同算術の時系列を示す図。

【図 5】傾き係数 $A = 5$ のベルヌーイシフト写像マッピングを示す図。

【図 6】係数 $A = 5$ の時のベルヌーイシフト写像と合同算術の時系列を示す図。

【図 7】ベルヌーイシフト写像と合同算術の C 言語によるソースコードを示す図。

【図 8】図 7 のベルヌーイシフト写像と合同算術による演算結果を示す図。

【図 9】一次元不定方程式の整数解によって秘密鍵 SK となる “ x ” と “ y ” を求める過程を示す図。

【図 10】本発明に係る公開鍵暗号システムの第 1 の実施形態の動作を示すフローチャート。

【図 11】ベルヌーイシフト写像による平文 3 通りの暗号化の結果)と復号の結果を示す図。

【図 12】ベルヌーイシフト写像による公開鍵暗号の暗号化・復号イメージを示す図。

【図 13】本発明に係る公開鍵暗号システムの第 3 の実施形態の動作を示すフローチャート。

【図 13 A】本発明に係る公開鍵暗号システムの第 4 の実施形態の動作を示すフローチャート。

【図 14】ベルヌーイシフト写像の初期値 X_0 を変更したときの X_i

【図 15】本発明に係る公開鍵暗号システムの第 5 の実施形態の動作を示すフローチャート。

【発明を実施するための形態】

【0013】

以下添付図面を参照して、本発明に係る公開鍵暗号システム、公開鍵暗号方法、公開鍵暗号プログラムの実施形態を説明する。

【0014】

本発明の実施形態として、公開鍵を元に暗号化を行い、秘密鍵を保有している受信装置により復号を行うベルヌーイシフト写像による公開鍵暗号の演算を用い、安全で演算コストが低い公開鍵暗号システムを提案する。従来 of 代表的な公開鍵暗号の一つとして、RSA 暗号が知られている。RSA 暗号で用いられている数理は、フェルマーの小定理を素数以外の数値に適用できるように拡張したオイラーの定理に基づくものである。

【0015】

本願発明者は、一次元写像として知られるベルヌーイシフト写像を整数演算化し、傾きを一律に変更して反復する値を追跡すると合同算術の定理で知られるフェルマーの小定理と同期することを発見した。この点に着目するとオイラーの定理もベルヌーイシフト写像の反復周期と同期するため、RSA 暗号の合同算術による演算をベルヌーイシフト写像による公開鍵暗号として適応可能である。

【0016】

RSA 暗号は、法演算 (modulo) である合同算術を基本としており、この合同算術には割り算が必須である。これに対し、本発明の実施形態に係るベルヌーイシフト写像による公開鍵暗号アルゴリズムでは割り算を行わず、引き算を 1 回のみ行えば良いため、合同算術を用いるものと比較して演算コストを削減できる。また、RSA 暗号の弱点としては、決まり切った平文が “Yes” が “No” のみにより構成される場合、同じ平文を同じ公開鍵で暗号化を行うと暗号文が限定されるため、平文が見破られやすいといった問題があることは前述したことである。これを解決するため、平文に乱数を付加して送信す

10

20

30

40

50

る手法があるが、受信側の手間が増加することについても述べた。

【0017】

上記に対し本実施形態に係るベルヌーイシフト写像による公開鍵暗号の演算では、初期値 X_0 を変更できる自由度を有する。即ち、初期値 X_0 を初期ベクトルとして変更することで、同じ平文を同じ公開鍵で暗号化しても暗号文のパターンが毎回変動されるので、同じ平文を使用していることが第三者に悟られ難くなることが期待できる。

【0018】

公開鍵暗号方式は、共通鍵暗号方式の鍵の配送の問題から共通鍵を通信相手に渡す際に公開鍵暗号を利用するハイブリット型暗号として用いられているが、同じ共通鍵を使い回し続ける場合は同じ暗号文が出力されるため安全性が小さくなる。実施形態に係るベルヌーイシフト写像を用いた公開鍵暗号システムでは、初期値 X_0 を乱数で毎回変更することで毎回異なる暗号文が生成できる構成が採れるため同じ鍵を使用していることが第三者にわからなくなり安全性を高めることが期待できる。このため、同じパスコードを使い回す用途にも好適となる鍵交換方法となる。本実施形態の暗号の安全性は、RSA暗号と同様に大きな桁の素数同士の掛け算の合成数は、素因数分解に莫大な計算量がかかることを根拠とする。

【0019】

次に、図を用いて実施形態を説明する。各図において、同一の構成要素には同一の符号を付して重複する説明を省略する。第1の実施形態に係る公開鍵暗号システムは図1に示すように、送信装置100と受信装置200とを備えて構成される。

【0020】

送信装置100と受信装置200とは、コンピュータ機能と通信機能を備える装置であるならば、特に限定されず、パーソナルコンピュータやワークステーション、スマートフォン、PDA（パーソナルデジタルアシスタント）などによって構成することができる。送信装置100は、公開鍵を用いて平文を暗号化し暗号文を送るものであり、送信のための送信手段101を備えている。受信装置200は、送信された暗号文を受信し、上記公開鍵に対応する秘密鍵を用いて復号し平文へ戻すものであり、受信のための受信手段201を備えている。

【0021】

送信装置100と受信装置200とは、有線または無線の伝送路300により接続されている。送信装置100は、暗号化手段102を備えている。暗号化手段102は、上記公開鍵を用いてベルヌーイシフト写像を実行して平文を暗号文へ変換するものである。受信装置200は、復号手段202を備えている。復号手段202は、上記秘密鍵を用いてベルヌーイシフト写像を実行して暗号文を平文へ変換するものである。

【0022】

受信装置200には、上記公開鍵を生成する公開鍵生成手段203と上記秘密鍵を生成する秘密鍵生成手段204が備えられている。上記図1の構成を備える本実施形態の公開鍵暗号システムは、基本的にベルヌーイシフト写像を用いるものであるから、ベルヌーイシフト写像の説明から始める。

【0023】

ベルヌーイシフト写像について

ベルヌーイシフト写像は以下の式(1)で定義される。

【数1】

$$x_{i+1} = \begin{cases} 2x_i & (x_i < 0.5) \\ 2x_i - 1 & (0.5 \leq x_i) \end{cases} \quad i = 0, 1, 2, \dots \quad (1)$$

ベルヌーイシフト写像のマップを図2に示し、式(1)による横軸を i 、縦軸を x_{i+1} とした時系列を図3に示す。

【0024】

図3では、初期値 $x_0 = 0.234$ とし、“ $x_0 < 0.5$ ”であるため、“ $x_1 = 2x_0$ ”の演算を行い、 $x_1 = 0.468$ が得られる。 x_1 については、“ $x_1 < 0.5$ ”であるため、“ $x_2 = 2x_1$ ”の演算を行い、 $x_2 = 0.936$ が得られ、以降“ x_3, x_4, \dots ”と開区間 $(0, 1)$ を反復し遷移してゆく。

【0025】

次に、ベルヌーイシフト写像と合同算術との同期について説明する。初等整数論の合同算術における重要な定理として、フェルマーの小定理が知られている。Pを素数とし、AをPの倍数でない整数（AとPは互いに素[最大公約数が1]、つまりPが素数であればよい）とするとき、以下の式が成り立つことが知られている。

【数2】

$$A^P \equiv A \pmod{P}$$

10

【0026】

例えば、 $2^{11} \pmod{11}$ の場合 $2^{11} = 2048$ に対して、素数11で割る演算を行うと、余りが2となることを示し、11の法(modulo)をとった剰余は2であることを表す式である。また、“P-1”を乗数とした（両辺をAで割る）場合には、以下式(2)のように余りが1となる。

【数3】

$$A^{P-1} \equiv 1 \pmod{P} \quad (2)$$

20

【0027】

ここで、式(1)の初期値 x_0 に“ $1/11$ ”を設定し、反復演算した x_i の値と、式(2)に“ $A = 2$ ”を設定し、法として素数 $P = 11$ を設定し、左辺の指数Pを0~11に振った余りの値は、図4に示すようになる。ここで、式(2)について指数が大きくなるほど桁が莫大になるため、合同算術では法(modulo)をとることで、ある値Q同士を掛け算した結果の余りにもう一回ある値Qを掛け算して、余りを出すと元の掛け算(Q^3)の余りに等しくなるといった性質があり、桁を抑えて演算できるため、このテクニックを使って計算している。

30

【0028】

図4(A)に示すように、ベルヌーイシフト写像は分数で計算を行っており、この計算における x_i の分子の数値が、図4(B)の合同算術による余りの数値と同じになっており、同期していることが判る。これは、割り切れない数は仮分数($2^i/11$)が、例えば $i = 6$ のとき、 $64/11 = 55/11 + 9/11 = 5 + 9/11$ となり、帯分数は11の倍数として、5が括りだされ、真分数($9/11$)における分子の値“9”は11の割り算の余りとしても示されるからである。以上の図4から、 x_{10} の時点で $1/11$ と x_0 に戻り、ベルヌーイシフト写像は周期長10で繰り返されることが判る。

40

【0029】

次に、式(2)のAが2以外の数値のときに対応するベルヌーイシフト写像の式を考える。例として $A = 5$ の場合を考えて、これと同期するベルヌーイシフト写像は以下式(3)の5つからなる式になる。式(3)のマップを図5に示す。

【数 4】

$$x_{i+1} = \begin{cases} 5x_i & (x_i < 1/5) \\ 5x_i - 1 & (1/5 \leq x_i < 2/5) \\ 5x_i - 2 & (2/5 \leq x_i < 3/5) \\ 5x_i - 3 & (3/5 \leq x_i < 4/5) \\ 5x_i - 4 & (4/5 \leq x_i) \end{cases} \quad i = 0, 1, 2, \dots \quad (3)$$

【0030】

式(3)に、初期値 $X_0 = 1/11$ を与えて反復演算を行った場合の値と、式(2)において“ $A = 5$ ”を設定し、法として素数 $P = 11$ を設定した値の遷移を、図6に示す。図6を参照すると $A = 2$ の場合と同様に、図6(A)に示される式(3)の反復演算における X_i の分子と、図6(B)に示される合同算術による余りの数値が同じ値となっており、同期している。これも、分数の演算では真分数の分子が合同算術の余りを指しているからであり、傾き A がどのような値でも同様に真分数の分子と合同算術の余りが同じ値になることが判る。そして、 $X_5 = 1/11$ となっており、初期値 X_0 に戻るため周期長は5で繰り返されることが判る。これらを考察すると、ベルヌーイシフト写像の反復値の真分数の分子は合同算術の余りに相当し、合同算術の余りと同義であることが判る。以上から、傾き A の冪乗の法を取る合同算術は、ベルヌーイシフト写像に代替できることが示された。

10

20

【0031】

ここまでベルヌーイシフト写像は开区間 $(0, 1)$ を扱っていたが、整数演算が行えるよう区間を素数 P 倍して开区間 $(0, P)$ にすることで、冪乗の合同算術の余りに相当する X_i を得ることができる。傾きを“ A ”とし、开区間 $(0, P)$ に拡大し整数演算化したベルヌーイシフト写像は各傾き A の一次式をまとめて、次の式(4)のように、簡潔に表すものとする。

【数 5】

$$X_{i+1} = AX_i - PM_k \quad (PM_k/A \leq X_i < PM_{k+1}/A) \quad (4)$$

$$(i = 0, 1, 2, \dots; M_k = 0, 1, 2, \dots, A; k < A)$$

30

上記式(4)の M_k の下付き添え字 k は、式(4)の各一次式(一次式の数は A 個)を選択する範囲毎の変数を示し、 k は 0 ($M_0 = 0$) から傾き A ($M_{k+1} = A$) までを表している。例えば、 $P = 1$ (拡大無し) とすれば、傾き $A = 2$ では式(1)、傾き $A = 5$ では式(3)が得られる。

【0032】

図7(A)に、整数演算化したベルヌーイシフト写像の式(4)をC言語で記述したプログラムのソースコードを示し、図7(B)に、合同算術の式(2)をC言語で記述したプログラムのソースコードを示す。図7のプログラムを実行した演算結果、を図8に示す。図8(A)がベルヌーイシフト写像式(4)を係数 $A = 5$ 、最大区間 $P = 11$ 、反復回数 $ret = 11$ に設定して、 X_{10} まで反復を行った場合の結果である X_i の値を示す。図8(B)は、合同算術式(2)を係数 $A = 5$ 、法 $P = 11$ として左辺のべき乗の $P - 1$ を“ $0, 1, 2, \dots, 10$ ” ($r = 11$ に設定) まで変更して、それぞれの5のべき乗を法11で割った余りを示している。この図8によれば、図8(A)に示されるベルヌーイシフト写像の反復 i の値 X_i と、冪乗の値 $(5^i \pmod{11})$ が対応して、同じ解となっていることが確認できる。

40

【0033】

なお、図7(A)のベルヌーイシフト写像式(4)のプログラムでは、各区間の境界“ $P \times M_k / A$ ”や“ $P \times M_{k+1} / A$ ”が割り切れるよう区間 $(0, P)$ をさらに A 倍することで、最大区間 $(0, A \times P)$ とし各区間の境界を整数のみで扱えるようにしている。具

50

体例には、係数 $A = 5$ の場合、区間の境界値は式 (4) から “ $0 / 5, 11 / 5, 22 / 5, 33 / 5, 44 / 5, 55 / 5$ ” となるが、割り切れないため 5 倍して “ $0, 11, 22, 33, 44, 55$ ” の値を境界値として求めておき、メモリ (配列 `interval[A]`) に保存している。 X_i の値に対応する区間の検索処理 (図 7 のプログラムでは降順に全件探索し見つかった時点で検索終了) により引き算する値 “ $P \times M_k$ ” を選定している。このため、プログラム中の演算結果をモニターに出力する “ `printf` ” 文では X_i は A で割ってから出力し、関数の戻り値も X_i は、 A で割った値としている。

【0034】

合同算術の式 (2) の合同算術演算は C 言語で実装した図 7 (B) に示すソースコードのように、法 11 の余りに対して、 $A = 5$ を掛け算して法 11 の余りを取り $A = 5$ を掛け算する繰り返しで余りの算術を行う手法を使っている。これに対してベルヌーイシフト写像の式 (4) では区間の境界値を保存しておくメモリ領域と区間を検索する処理が発生するが演算が 1 回の引き算のみで良く、割り算を行い余りをとる除算剰余と比較して演算コストの低減が期待できる。

10

【0035】

実際に図 7 のソースコードの演算の繰り返し部分を、100 万回反復 (関数の入力値に $A = 5, P = 11$, 図 7 (A) : `ret=1000000`, 図 7 (B) : `r=1000000` に設定して “ `printf` ” 部分はコメントアウト) を行いオペレーションシステム Linux (登録商標) で提供されているコマンドツール “ `time` ” を使って処理時間を調べると、ベルヌーイシフト写像による演算は合同算術の約半分の処理時間になることが確認された。式 (4) のベルヌーイシフト写像は、傾き A が大きな値となることで区間の分割数が増加し検索に時間がかかると推測されるが、区間の検索処理は二部探索法を利用するなど検索コストを削減することがより望ましい。

20

【0036】

以上の考察と実験結果から、合同算術によるべき乗とベルヌーイシフト写像の反復回数は同期して、合同算術によるべき乗の余りとベルヌーイシフト写像の X_i は同じ値となる関係が得られることが推定される。よって、RSA 暗号で用いられているフェルマーの小定理を素数以外の数にも適用できるように拡張されたオイラーの定理についてもベルヌーイシフト写像と同期することが推定される。

30

【0037】

オイラーの定理について

オイラーの定理は、 N が正の整数で A を N と互いに素な正の整数としたとき、以下の式 (5) が成り立つ、という定理である。

【数 6】

$$A^{\phi(N)} \equiv 1 \pmod{N} \quad (5)$$

上記式 (5) における $\phi(N)$ は、オイラーのトーシェント関数と呼ばれ、 $\phi(N)$ は N より小さい正の整数のうち N と互いに素な数の個数を表す。例えば $N = 10$ のときを考えると 10 と互いに素な 10 より小さい数をピックアップすると { $1, 3, 7, 9$ } の 4 個となるため、 $\phi(10) = 4$ となる。

40

【0038】

また、 N が素数 P の場合、 P と互いに素な数は { $1, 2, \dots, P - 2, P - 1$ } の $P - 1$ 個となるため、 $\phi(P) = P - 1$ となり、式 (5) はフェルマーの小定理の式 (2) になることが判る。このため、オイラーの定理はフェルマーの小定理を素数以外にも適用できるようにした拡張版とされる。特に、素数 P と素数 Q を用意して “ $N = P \times Q$ ” としたときには、 “ $\phi(N) = (P - 1) \times (Q - 1)$ ” が成り立つことが知られており、RSA 暗号では法 (`modulo`) の値としてこの 2 つの素数を掛け算した N を公開鍵の一部として使用する。注意点として、 A と N は互いに素な整数であることが条件のため、 A は

50

素数 P もしくは素数 Q を使用しないことである。

【 0 0 3 9 】

R S A (R i v e s t - S h a m i r - A d l e m a n) 暗号について

R S A 暗号は、合同算術による冪乗の余りの周期性に着目したオイラーの定理に基づく公開鍵暗号方式である。公開鍵暗号方式は、第三者に公開する公開鍵により暗号化を行い、秘密鍵を持った本人のみが復号を行えるといった暗号化と復号に別々の鍵を用いる暗号方式である。送信者と受信者が同じ鍵を共有する共通鍵暗号方式は、鍵の配送の問題があるため共通鍵の交換や認証にも広く利用されている。公開鍵は P K (P u b l i c K e y) と法 N とし、秘密鍵は S K (S e c r e t K e y) と法 N となる。これらの鍵はベルヌーイシフト写像による暗号化と復号の演算で R S A 暗号と等しく利用できるため、本実施形態では、これを用いるものであり、以下に鍵の生成方法について説明する。

10

【 0 0 4 0 】

R S A 暗号では、平文を P L (P l a i n) とし公開鍵 P K と公開鍵 N とすると、暗号文 C (C i p h e r) は 2 つの公開鍵を利用して以下の合同算術式 (6) で得る。

【 数 7 】

$$PL^{PK} \equiv C \pmod{N} \quad (6)$$

暗号文 C から復号鍵となる秘密鍵 S K を用意し、以下の合同算術の式 (7) で復号を行い平文に復元する。

20

【 数 8 】

$$C^{SK} \equiv PL \pmod{N} \quad (7)$$

ここで式 (6) に式 (7) を代入し暗号文 C を消去すると、

【 数 9 】

$$(PL^{PK})^{SK} \equiv PL \pmod{N} \quad (8)$$

30

と復号を行うことができる。

【 0 0 4 1 】

R S A 暗号では、公開鍵 P K と公開鍵 N で式 (6) の暗号文 C を生成し、復号鍵 (秘密鍵) S K と復号鍵 N を持つ本人だけが暗号文 C から正しい平文 P L を得られる仕組みとなっており、式 (8) が成り立つような P K と S K を見つけることで公開鍵暗号として成立する。式 (8) を成立させることを考えると、式 (5) のオイラーの定理を利用することができる。式 (5) の A に平文 P L を代入して正の整数 “ y ” を導入し、 y 乗すると、以下の式 (8 A) が得られる。

【 数 1 0 】

40

$$PL^{\phi(N) \cdot y} \equiv 1 \pmod{N} \quad (8A)$$

【 0 0 4 2 】

上記式 (8 A) において、冪乗の $\phi(N)$ を y で整数倍して法をとった値、周期長 (N) で “ 1 ” を繰り返すことを示している。前述したように “ N = P × Q ” としたときには、 “ $\phi(N) = (P - 1) \times (Q - 1)$ ” が成り立ち、 N は素数 P と素数 Q を掛け算したもの (素数同士の掛け算は R S A 暗号の安全性根拠になる) を採用する。更に、式 (8 A) の両辺に “ P L ” を掛け算すると、以下の式 (9) となる。

【数 1 1】

$$PL^{\phi(N) \cdot y + 1} \equiv PL \pmod{N} \quad (9)$$

【0043】

式(8)と式(9)の指数を見比べると、

【数 1 2】

$$PK \cdot SK = \phi(N) \cdot y + 1 \quad (9A)$$

10

が成り立つようなPKとSKを見つけることで、式(8)は成り立つため暗号文Cは復号できる。ここで、上記式(9A)の右辺の“(N)・y”を左辺に移項すると以下の式(10)が得られる。

【数 1 3】

$$PK \cdot SK - \phi(N) \cdot y = 1 \quad (10)$$

20

式(10)からベズーの等式としても知られる一次不定方程式の整数解を利用することで、PKとSKが導出できる。以下に、一次不定方程式の解法により具体的な例を提示しPKとSKの導出例を示す。

【0044】

<定理> 一次不定方程式の整数解

“a”と“b”を互いに素な整数としたとき、以下の二元一次方程式を満たす整数解“x”と“y”が存在する。

【数 1 4】

$$a \cdot x + b \cdot y = 1 \quad (11)$$

30

式(10)と式(11)を見比べると、 $a = PK$ 、 $x = SK$ 、 $(N) = b$ に相当することが判る。“y”は“-y”に置き換える。

前述から、“(N) = (P - 1) × (Q - 1)”のため、例として素数P = 11と素数Q = 13を用意してNと(N)を求めると、

$$N = 11 \times 13 = 143, \quad (N) = 10 \times 12 = 120$$

となる。次にPKを導出するが式(11)は定理より、“a”と“b”を互いに素(最大公約数が1)な整数とするため、(N) = 120と素な整数を公開鍵PK(=a)としてランダムに選択できる。

40

【0045】

なお、式(5)は、(N)は“P - 1”と“Q - 1”の最小公倍数LCM(Least Common Multiple)をとっても成り立つため、最小公倍数をとる関数をLCM(P - 1, Q - 1)として“(N)”を置き換え、“N = P × Q”のため、これも置き換えて

【数 1 5】

$$A^{\text{LCM}(P-1, Q-1)} \equiv 1 \pmod{(P \times Q)}$$

が成り立つ。上記から10と12で共に割り切れる最小の値(最小公倍数)は60となる

50

ため、“ $LCM(10, 12) = 60$ ”であり、上記の式の素数 P が素数 Q 以外の適当な整数 A の指数に“ 60 ”を当て嵌めると“ $60, 120, 180, \dots$ ”と 60 刻みに周期的に“ $P \times Q$ ”で法をとった値は 1 になる。

【0046】

公開鍵 $PK (= a)$ の選択は、文献によって $(N) = LCM(P - 1, Q - 1)$ となる最小公倍数を当て、それより小さい素な値の

“ $0 < PK < LCM(P - 1, Q - 1)$ ”を採用することが紹介されているが、ここでも最小公倍数“ $(N) = 60$ ”を使う。

公開鍵 $PK (= a)$ は、例として適当に素数 7 (60 と素な値) を当てることとする。

これで式 (11) の“ a ”と“ b ”は以下のように決まった。

【数16】

$$7 \cdot x + 60 \cdot y = 1$$

一次不定方程式の整数解「拡張されたユークリッドの互除法」によって秘密鍵 SK となる“ x ”と“ y ”を求める。“ x ”と“ y ”を求める例を図9に示す。

【数17】

$$7 \cdot (-17) + 60 \cdot 2 = 1$$

【0047】

上記式のように“ $x = -17, y = 2$ ”が得られたが、“ x ”はマイナス、“ y ”はプラスになっており式 (10) と見比べると、“ y ”はマイナスつまり“ $y = -y$ ”となるようにしたいため“ x ”がプラスとなるように、以下のテクニックを利用する。式 (11) を以下の式 (12) に変形する。

【数18】

$$a \cdot (x+b) + b \cdot (y-a) = 1 \quad (12)$$

式 (12) の“ $a \times b$ ”の部分は差し引きで消去できるため式 (11) と等しい。

求めた値は“ $x = -17, b = 60$ ”、また“ $y = 2, a = 7$ ”であるため、これを式 (12) に代入すると、

【数19】

$$7 \cdot (43) + 60 \cdot (-5) = 1$$

と“ $x = 43, y = -5$ ”になり、式 (10) の形式が得られこれで残りの秘密鍵 $SK = 43$ が得られた。

以上、RSA暗号は平文を底の数値として、公開鍵 PK で冪乗を行い“ $N = \text{素数 } P \times \text{素数 } Q$ ”で法をとり暗号文を生成し、暗号文を底の数値として秘密鍵 SK で冪乗を行い、“ $N = \text{素数 } P \times \text{素数 } Q$ ”で法をとり、復号を行い平文に戻すことを示した。

【0048】

図1に示したように、受信装置200の公開鍵生成手段203が公開鍵を生成し、秘密鍵生成手段204が秘密鍵を生成する。生成した公開鍵である PK と N を、第三者としての送信装置100のユーザに公開する。 N を素因数分解して素数 P と素数 Q を求めて式 (10) に PK と (N) を当て嵌めれば、秘密鍵 SK が容易にわかってしまうが、大きな桁の素数同士を掛け算した合成数の素因数分解は、莫大な計算量が必要となり素数 P と素数 Q が割り出せないことを安全性の根拠としている。2011年1月に、米国商務省国立

10

20

30

40

50

標準技術研究所 (N I S T) は、 R S A 暗号に使用する法 N を 2 0 4 8 ビット以上にすることを公表 (N I S T S P 8 0 0 - 1 3 1) している。

【 0 0 4 9 】

なお、他に秘密鍵 $S K$ の導出方法については、文献によって、

【 数 2 0 】

$$PK \cdot SK \equiv 1 \pmod{\phi(N)}$$

が成り立つ " $S K$ " を見つけることであると、紹介されている。しかしながら、これは被除数 $PK \times SK$ を除数 (N) で割った商 y の剰余が 1 ということであり、以下の式が成り立つ。

10

【 数 2 1 】

$$\phi(N) \cdot y + 1 = PK \cdot SK$$

この式は、式 (1 0) と同じであり、本実施形態では一次不定方程式の整数解により秘密鍵 $S K$ を導出することとした。

【 0 0 5 0 】

< 第 1 の実施形態 >

以上のようにして、求められた公開鍵と秘密鍵を用いて、図 1 に示した第 1 の実施形態に係る公開鍵暗号システムは、図 1 0 に示すフローチャートに基づく動作を行い、ベルヌーイシフト写像による暗号化と復号を実行する。なお、図 1 0 では素数 P と素数 Q から公開鍵 PK と秘密鍵 SK と法 N は受信装置 2 0 0 において生成済みであり、公開鍵 PK と法 N は送信装置 1 0 0 へ渡されているものとする。

20

【 0 0 5 1 】

即ち、送信装置 1 0 0 は、公開鍵 PK と公開鍵 N (法 N) を入手し ($S 1 1$)、平文を入手し ($S 1 2$)、公開鍵 PK をベルヌーイシフト写像の反復回数にセットし、公開鍵 N をベルヌーイシフト写像の最大区間にセットし、平文をベルヌーイシフト写像の傾き係数にセットし ($S 1 3$)、準備が完了となる。

【 0 0 5 2 】

次に、ベルヌーイシフト写像により暗号化を行う ($S 1 4$)。このステップ $S 1 4$ の処理は、図 7 (A) に示したプログラムの実行による処理となる。ステップ $S 1 4$ の処理が行われ、反復回数 PK 繰り返された結果の値 X_{PK} が暗号文として生成される ($S 1 5$)。この暗号文 X_{PK} は受信装置 2 0 0 へ伝送路 3 0 0 を介して送信される。

30

【 0 0 5 3 】

一方受信装置 2 0 0 は、秘密鍵 SK と秘密鍵 N (法 N) を入手し ($S 2 1$)、暗号文を受信する ($S 2 2$)。次に、秘密鍵 SK をベルヌーイシフト写像の反復回数にセットし、秘密鍵 N をベルヌーイシフト写像の最大区間にセットし、暗号文をベルヌーイシフト写像の傾き係数にセットし ($S 2 3$)、準備が完了となる。

【 0 0 5 4 】

次に、ベルヌーイシフト写像により復号を行う ($S 2 4$)。このステップ $S 2 4$ の処理は、図 7 (A) に示したプログラムの実行による処理となる。ステップ $S 2 4$ の処理が行われ、反復回数 SK 繰り返された結果の値 X_{SK} が復号文 (平文) として生成される ($S 2 5$)。

40

【 0 0 5 5 】

上記公開鍵暗号システムの処理を、具体例により説明する。例として、3つの平文 ($A = 5$, $A = 19$, $A = 101$) を用意し、公開鍵による暗号化と秘密鍵による復号したときのそれぞれの反復 X_i の値を図 1 1 に示す。前述したが、平文 A には素数 $P = 11$ もしくは素数 $Q = 13$ と同じ値を入れない。このため、実用では平文は素数 P と素数 Q 以下の値にするなど制約を与える。各平文は公開鍵の値となる 7 回分を式 (4) で反復演算を行

50

なった図 1 1 (A) の “ $i = 7$ ” の行に示す “ X_7 ” が暗号文となる。暗号文に秘密鍵の値となる 4 3 回を式 (4) で反復演算を行った X_{43} が、元の平文に復号されていることが図 1 1 (B) の “ $i = 4 3$ ” の行において確認できる。なお、初期値 X_0 は暗号化と復号で共に “ 1 ” に設定している。

【 0 0 5 6 】

この暗号化と復号のイメージを、ベルヌーイシフト写像のマップとして図 1 2 に示す。この図 1 2 によって、平文を 5 としたときの式 (4) における傾きが $A = 5$ になり、復号鍵分 ($PK = 7$) の回数の反復を行って暗号化することで暗号文 $X_7 = 4 7$ が得られることが判る。復号時は $X_7 = 4 7$ を式 (4) の傾き $A = 4 7$ に設定して、秘密鍵分の回数 ($SK = 4 3$) の反復写像を行うことによって $X_{43} = 5$ の平文 5 が復元される。

10

【 0 0 5 7 】

演算負荷について考察する。図 7 のソースコードに示すように、傾き A の値で区間の分割数が決まるため、例えば送信者がパスワード 8 文字のような 6 4 b i t のデータを送信する場合、8 b i t ずつ小分けにして平文 (傾き A) を小さくして暗号化を行い 8 回分送信する。これにより、1 回 (8 b i t) の暗号処理における区間の最大分割数 (最大 2 5 5) が少なくなり、区間の検索回数を少なくできる。送信する暗号文 X_i (復号に使用する傾き A) は法 N の値により大きな値になるため、送信側は処理能力の低い携帯端末で暗号化を行い、受信者側は処理能力の高いサーバで復号を行うといったパスコード認証のような形態において好適となる。

【 0 0 5 8 】

20

従来の合同算術による計算では、図 7 (B) のソースコードのステップ数 “ r ” が公開鍵もしくは秘密鍵の値に相当するが、実際には大きな値を扱うため計算量が莫大になり現実的ではなくなる。このため、“ 冪乗法 ” を利用することで計算量が少なくなる手法を用いている。

【 0 0 5 9 】

例として図 1 1 の暗号文 4 7 を復号文 5 に戻す場合は式 (7) より以下の合同算術式が成り立っている。

【 数 2 2 】

$$47^{43} \equiv 5 \pmod{143}$$

30

指数部分の秘密鍵 $SK = 4 3$ から図 7 では 4 3 ステップの計算が必要となる。冪乗法ではこの計算に補助項

【 数 2 3 】

$$47^2 \equiv 64 \pmod{143}, 47^4 \equiv 92 \pmod{143}, 47^8 \equiv 27 \pmod{143}, 47^{16} \equiv 14 \pmod{143}, \\ 47^{32} \equiv 53 \pmod{143}$$

を計算する。この手法はその前の項の 2 乗

【 数 2 4 】

40

$$(\text{例えば、} 47^8 \equiv 92^2 \equiv 27 \pmod{143})$$

から得られるため計算ステップは 5 回となる。

【 数 2 5 】

$$47^{43} \equiv 47^{32} \cdot 47^8 \cdot 47^2 \cdot 47^1 \equiv 53 \cdot 27 \cdot 64 \cdot 47 \equiv 5 \pmod{143} \quad (1 3)$$

となり、計算ステップが 3 回となるため、合計 8 回のステップで計算が可能となり演算負荷を軽減できる。

50

【 0 0 6 0 】

ここまでの計算では法 $N = 143$ であるため、最大桁は “ $143^2 = 20449$ ” までを扱うことが考えられるが、最大桁を “ $143 \times 2 = 286$ ” までに小さくする手法がある。たとえば上記の

【数 2 6】

$$53 \cdot 27 \equiv 1 \pmod{143}$$

の箇所について “ $53 \times 27 = 1431$ ” となるが、 27 を 2 進展開すると “ $2^4 + 2^3 + 2^1 + 2^0$ ” となり、補助項を求めると、

【数 2 7】

$$2^0 \cdot 53 \equiv 53 \pmod{143}, 2^1 \cdot 53 \equiv 106 \pmod{143}, 2^2 \cdot 53 \equiv 2 \cdot 106 \equiv 69 \pmod{143}, \\ 2^3 \cdot 53 \equiv 2 \cdot 69 \equiv 138 \pmod{143}, 2^4 \cdot 53 \equiv 2 \cdot 138 \equiv 133 \pmod{143}$$

となり、

【数 2 8】

$$53 \cdot 27 \equiv 53 \cdot 2^4 + 53 \cdot 2^3 + 53 \cdot 2^1 + 53 \cdot 2^0 \equiv 133 + 138 + 106 + 53 \equiv 1 \pmod{143}$$

となり、足し算の計算は

【数 2 9】

$$133 + 138 \equiv 128 \pmod{143}, 128 + 106 \equiv 91 \pmod{143}, 91 + 53 \equiv 1 \pmod{143}$$

となり、ここまでのすべての途中の計算は最大桁を、 “ $143 \times 2 = 286$ ” 以下にできている。

【 0 0 6 1 】

また、

【数 3 0】

$$1 \cdot 64 \equiv 64 \pmod{143}, 64 \cdot 47 \equiv 5 \pmod{143},$$

であるが、同様に 47 を 2 進展開すると “ $2^5 + 2^3 + 2^2 + 2^1 + 2^0$ ” となり、補助項を求めると

【数 3 1】

$$2^0 \cdot 64 \equiv 64 \pmod{143}, 2^1 \cdot 64 \equiv 128 \pmod{143}, 2^2 \cdot 64 \equiv 2 \cdot 128 \equiv 113 \pmod{143}, \\ 2^3 \cdot 64 \equiv 2 \cdot 113 \equiv 83 \pmod{143}, 2^4 \cdot 64 \equiv 2 \cdot 83 \equiv 23 \pmod{143}, \\ 2^5 \cdot 64 \equiv 2 \cdot 23 \equiv 46 \pmod{143}$$

となり、

【数 3 2】

$$64 \cdot 47 \equiv 64 \cdot 2^5 + 64 \cdot 2^3 + 64 \cdot 2^2 + 64 \cdot 2^1 + 64 \cdot 2^0 \equiv 46 + 83 + 113 + 128 + 64 \\ \equiv 5 \pmod{143}$$

が最終的に導かれ、足し算部分は上記のように一回の足し算の余りの結果を次の値と足し算して余りを順に求めて行く。

【 0 0 6 2 】

式 (13) と比較すると、計算ステップ数は増えているがすべての途中の計算は最大桁を “ $143 \times 2 = 286$ ” 以下にでき、桁数を抑えることができる。こうした演算に必要な最大桁を小さくするテクニックを取り込み、図 7 に示すように合同算術部分をベルヌーイシフト写像の演算に置き換えることで、傾き A の桁数が小さくなり区間の検索回数を減

10

20

30

40

50

らすことができるため、演算負荷を小さくすることが期待できる。

【0063】

図1Aには、第2の実施形態に係る公開鍵暗号システムが示されている。第2の実施形態に係る第2の実施形態に係る公開鍵暗号システムでは、送信装置100Aがベルヌーイシフト写像の初期値を暗号化の度に変更する送信側初期値変更制御手段105を備えており、受信装置200Aが、暗号文を復号する度にベルヌーイシフト写像の初期値を、上記送信側初期値変更制御手段105によって変更された初期値と同じ値に変更する受信側初期値変更制御手段205と、上記受信側初期値変更制御手段205により変更された初期値を用いて前記暗号文の逆元を算出する逆元算出手段206を備えている。暗号化手段102は、送信側初期値変更制御手段105により変更された初期値を用いてベルヌーイシフト写像を実行して暗号化を行う。復号手段202は、受信側初期値変更制御手段205により変更された初期値を用いて得られた逆元の暗号文に対してベルヌーイシフト写像を実行して復号を行う。この逆元については、次の第3の実施形態で詳しく述べる。本実施形態によれば、暗号文の暗号化の度に初期値が変更されるので、決り切った平文として“Yes”が“No”のみにより構成される場合、同じ平文を同じ公開鍵で暗号化するために行い続けると暗号文に限られるため平文が見破られる危険性を低減させる。

10

【0064】

図1Bには、第3の実施形態に係る公開鍵暗号システムが示されている。この実施形態では、ベルヌーイシフト写像を実行する場合の初期値となる乱数種を生成する乱数種生成手段400を有する。乱数種生成手段400は、送信装置100Bと受信装置200B以外の装置に設けられ、生成された乱数種は、秘匿した状態で送信装置100Bと受信装置200Bに与えられる。ここでは、伝送路300を用いた配信の場合に暗号化して送信し、送信装置100Bと受信装置200Bにおいて復号して用いるようにすることができる。勿論、乱数種生成手段400は、送信装置100Bと受信装置200Bの少なくとも一方に設けられても良い。

20

【0065】

前記暗号化手段102Bは、上記乱数種生成手段400により生成され送信側初期値変更制御手段105を介して与えられた乱数種を初期値とし、この初期値と上記公開鍵を用いてベルヌーイシフト写像を実行して平文を暗号文へ変換する。また、受信装置200Bには、上記暗号文を上記乱数種生成手段400により生成され受信側初期値変更制御手段205を介して与えられた乱数種を用いて上記暗号文の逆元を算出する逆元算出手段206が備えられる。復号手段202Bは、上記逆元算出手段206により算出された逆元とされた暗号文に対し、ベルヌーイシフト写像を用いた復号を実行して暗号文を平文へ変換する。

30

【0066】

この第3の実施形態による処理のフローチャートを図13に示す。このフローチャートの処理は図10のものを変更したもので、送信装置100Bと受信装置200Bにおいては、乱数種の取得ステップ(S16, S26)が加わっている。そして、送信側では、ステップS17において、公開鍵PKをベルヌーイシフト写像の反復回数にセットし、公開鍵Nをベルヌーイシフト写像の最大区間にセットし、平文をベルヌーイシフト写像の傾き係数にセットし、乱数種を初期値 X_0 にセットし(S17)、準備が完了となる。また、受信装置200Bにおいては、暗号文の受信後に乱数種を用いて逆元を求める処理を行い(S27)、この逆元算出した暗号文を復号する暗号文にセットする(S28)。これ以外の処理は、第1の実施形態による処理と同様である。

40

【0067】

上記公開鍵暗号システムの処理を、具体例により説明する。図13における送信装置100Bによる暗号化のフローチャートにて、平文を5とし初期値 $X_0 = 1$ の場合に追加して、例として $X_0 = 3$ と $X_0 = 67$ の2つ初期値 X_0 を用意した。この2つの $X_0 = 3$ と $X_0 = 67$ を初期値に設定し、復号鍵(PK=7)の回数を反復演算して、取得した“ X_i ”を示す表が図14である。初期値 $X_0 = 3$ に設定した場合は、この暗号文を C_3 と表現して

50

$C_3 = 141$ が得られている。初期値 $X_0 = 1$ では暗号文を C_1 とすると暗号文 $C_1 = 47$ であるのに対し、初期値 $X_0 = 3$ に変えたことで異なる暗号文が得られることが確認できる。ここで、初期値 X_0 から初めて X_0, X_1, X_2, \dots と変化する各 X_i の値に着目すると、 $X_0 = 3, X_1 = 15, X_2 = 75$ となっており、これらを $X_0 = 3$ で各々割ると、 $X_0 = 1, X_1 = 5, X_2 = 25$ となり初期値 $X_0 = 1$ に設定した場合と同じ値になることが判る。このように、初期値を変更したときに得られる暗号文は、初期値 $X_0 = 1$ のときの暗号文が異なってしまふので、初期値を変更したことにより得られる暗号文から変更した初期値を用いて、初期値 $X_0 = 1$ のときの暗号文を求まる処理を、「逆元を算出する処理」という。そして、逆元算出手段が「逆元を算出する処理」を実行することになる。

【0068】

初期値 $X_0 = 3$ から始めた場合に暗号文 $C_3 = 141$ となるまでの各暗号文の値について、3 で合同算術の逆数をとれば、初期値 $X_0 = 1$ のときの各々の “ X_i ” が取得でき、 X_7 となる暗号文 $C_1 = 47$ を取得できる。この場合では、

【数33】

$$3 \cdot C_1 \equiv 141 \pmod{143}$$

が成り立つ暗号文 C_1 を求めればよいため、“ $141 / 3$ ” を計算した結果の $C_1 = 47$ が該当することが判る。ただし、注意点がある。初期値 $X_0 = 1$ の場合と同等になる暗号文 C_1 は乱数で決めた初期値 X_0 で逆数をとることで求められるが、合同算術において乗法逆元は上記合同式を満たす $C_1 = 47$ のみでなく複数の解が得られることである。

【0069】

上記式は被除数 $3 \times C_1$ を除数 143 で割った商 y の剰余が 141 ということであり、以下の式が成り立つ

【数34】

$$143 \cdot y + 141 = 3 \cdot C_1$$

変形すると

【数35】

$$C_1 = \frac{143 \cdot y}{3} + \frac{141}{3} = \frac{143 \cdot y}{3} + 47$$

となり、“ $y = 0, 3, 6, \dots$ ” とすることで、“ $C_1 = 47, 190, 333, \dots$ ” と際限なく複数の解が得られて元の暗号文が1つに識別できなくなる。そこで、「初期値 X_0 とする乱数種と平文の数値は、法 N 以下の値とする」と言うルールを設けることで1つに絞る。この例では、 $C_1 = 47$ のみが取得されることになる。

【0070】

次に、初期値 $X_0 = 67$ に設定変更した場合は暗号文を C_{67} として ($X_7 =$) $C_{67} = 3$ が得られており、初期値 $X_0 = 1$ のときと異なる暗号文が得られることが確認できる。

この場合

【数36】

$$67 \cdot C_1 \equiv 3 \pmod{143}$$

が成り立つ暗号文 C_1 を求めればよい。以下の式の解が整数になる C_1 を求めると、

【数37】

$$C_1 = \frac{143 \cdot y + 3}{67}$$

10

20

30

40

50

“ $y = 22, 89, 156, \dots$ ” とすることで、“ $C_1 = 47, 190, 333, \dots$ ” と複数の解が得られる。そこで、前述のルールに従って法 N (ここでは 143) 以下の値とするため $C_1 = 47$ のみを取得することができる。

【0071】

以上から乱数種を初期値 X_0 に設定したときに生成された暗号文 C_{X_0} から、初期値 $X_0 = 1$ を設定したときに生成される暗号文 C_1 に戻るとき、以下の式 (14) が成立する C_1 を求めればよい。

【数38】

$$X_0 \cdot C_1 \equiv C_{X_0} \pmod{N} \quad (14)$$

10

【0072】

乱数種の初期値 X_0 は、送信装置 (送信者) と受信装置 (受信者) でお互い秘匿することが必要である。このための構成を備える第4の実施形態に係る公開鍵暗号システムを、図1Cに示す。乱数種生成手段400は、送信装置100Cに備えられる。この送信装置100Cに備えられている暗号化手段102Cが、乱数種生成手段400により生成された乱数種を上記公開鍵を用いて暗号化手段102Cにおいてベルヌーイシフト写像を実行して暗号化する。更に、暗号化した乱数種を送信手段101を介して受信装置200Cへ送る。受信装置200Cでは、受信した暗号化された乱数種を復号手段202Cでベルヌーイシフト写像を実行して復号して用いる。この第4の実施形態では第3の実施形態と同様に、逆元算出手段206が、変更された初期値 (乱数種) を用いて逆元の算出を行う。

20

【0073】

第4の実施形態における、乱数種の処理と、平文を暗号化して送信する処理及び暗号化された暗号文を復号化する処理を図13Aのフローチャートに示す。受信装置200Cにおいては、素数 P と素数 Q を生成し、 P と Q から公開鍵 $N = P \times Q$ と公開鍵 PK を作成し (S41)、公開鍵 PK と公開鍵 N を送信者に送付する (S42)。更に、公開鍵 N と公開鍵 PK から秘密鍵 SK を生成する (S43)。送信装置100Cでは、乱数種を生成し上記で受信装置200Cから到来した公開鍵を用いてベルヌーイシフト写像による乱数種の暗号化を行う (S31)。次に暗号化した乱数種を受信装置200Cへ送る (S32)。これに対し、受信装置200Cでは、受信した暗号化した乱数種を秘密鍵を用いてベルヌーイシフト写像による復号を行い乱数種を復元する (S44)。以上で、送信装置100Cと受信装置200Cには同じ乱数種が暗号文の生成と復号の度に更新されて揃うことになる。

30

【0074】

次に、送信装置100Cが、公開鍵を用いて乱数種を初期値 X_0 に設定したベルヌーイシフト写像による平文の暗号化を行い (S33)、暗号文を受信装置200Cへ送信する (S34)。受信装置200Cでは、送信装置100Cからの暗号文を受け取り、乱数種を逆数として受信した暗号文の逆元を計算する (S45)。これで、乱数種を初期値として暗号化された暗号文が初期値が1である暗号文へと変換される (逆元の暗号文が求められる)。受信装置200Cでは、この逆元の暗号文に秘密鍵を用いてベルヌーイシフト写像により平文に復号する (S46)。而して、送信装置100Cにおいて暗号化される前の平文が受信装置200Cにおいて安全に復元される。

40

【0075】

図1Dに第5の実施形態に係る公開鍵暗号システムの構成を示す。本実施形態では、送信装置100Dに設けられた乱数種生成手段400Dは、暗号文の生成に際して乱数種の元となる元乱数種を1つ生成する。この元乱数種は、送信手段101を介して受信装置200Dへ与える。乱数種生成手段400Dは、平文の暗号化の毎に上記元乱数種に基づき所定のアルゴリズムで乱数種を生成し送信側初期値変更制御手段105を介して暗号化手段102Dへ与え、暗号化の初期値として用いさせる。

【0076】

50

受信装置 200D では、受信手段 201D により受信された暗号化されている元乱数種は復号手段 202D へ送られて復号されて元乱数種とされる。上記受信装置 200D には、受信側乱数種生成手段 208 が備えられる。受信側乱数種生成手段 208 は、暗号文の復号毎に元乱数種に基づき乱数種生成手段 400D と同じアルゴリズムで乱数種を生成する。受信装置 200D では、受信側乱数種生成手段 208 により生成された乱数種を用いて復号を行う。即ち、上記で生成された乱数種が逆元算出手段 206 へ与えられ、これを初期値として用いて上記暗号文の逆元を算出する。逆元の算出された暗号文は、復号手段 202D により他の実施形態と同様にして復号され平文が得られる。

【0077】

本第 5 の実施形態のポイントは、送信装置（送信者）から受信装置（受信者）へ送られる初期値 X_0 を秘匿とすることにある。図 1B に示した第 3 の実施形態では送信装置が暗号文を受信装置に送付する度に乱数種（初期値 X_0 ）を生成して、それを公開鍵で暗号化して送信し、受信装置側は秘密鍵で復号を行い、乱数種（初期値 X_0 ）を入手することでお互いに秘匿の情報を共有するものであった。しかしながら、この実施形態によれば、通信の度に乱数を生成して暗号化と復号を公開鍵暗号方式で行うことは比較的時間がかってしまう問題が生じる。

10

【0078】

このため、この第 5 の実施形態では、最初の 1 回目だけお互い秘匿とする乱数である元乱数種を送受信し、2 回目以降はその秘匿の乱数（元乱数種）を種にして秘密情報である初期値 X_0 を生成すれば、毎回乱数種を送信装置が暗号化して送信する手間と、受信装置が暗号化された乱数種を受信して復号する手間が、削減できる。

20

【0079】

本実施形態のフローチャートを図 15 に示す。受信装置 200D においては、素数 P と素数 Q を生成し、 P と Q から公開鍵 $N = P \times Q$ と公開鍵 PK を作成し（S41）、公開鍵 PK と公開鍵 N を送信者に送付する（S42）。更に、公開鍵 N と公開鍵 PK から秘密鍵 SK を生成する（S43）。送信装置 100D では元乱数種を生成して（S31D）、受信装置 200D に送信する（S32D）。送信装置 100D と受信装置 200D は、予め秘匿の乱数種（1 つ）を共有している。秘匿で共有するまでの手法に制限はないが、例えば、図 1C の第 4 の実施形態が暗号化毎の乱数種を共有した手法と同じ手法により、受信装置 200D へ送信を行っておくことができる。送信装置 100D と受信装置 200D は、同じアルゴリズムで乱数生成を行う。秘匿の乱数種と送信装置 100D で都度生成した乱数種を受信装置 200D と送信装置 100D で共有する同一の乱数生成アルゴリズムにて乱数種を変換（生成）する（S35、S47）。

30

【0080】

変換した乱数種はベルヌーイシフト写像の初期値 X_0 に設定して送信装置 100D は図 1D の暗号化手段 102D により暗号化を行って（S33）、暗号文を受信装置 200D へ送信する（S34）。受信装置 200D では、送信装置 100D から受信した元乱数種に基づき受信側乱数種生成手段 208 により乱数種を変換して（S47）、受信した暗号文を変換した乱数種で逆元を算出する（S45）。逆元演算の結果取得した暗号文は秘密鍵 SK を用いて復号を行い平文を得る（S46）。このような構成を採ることで、通信の度に生成する乱数種を送信装置 100D で暗号化して受信装置 200D で復号するといった比較的計算コストの高い公開鍵暗号の計算を省くことができる。

40

【0081】

受信装置 200D と送信装置 100D で共有する乱数生成アルゴリズムは、例えばベルヌーイシフト写像を用いる。この場合、秘匿の乱数を傾きの値にして送信装置 100D で生成した乱数種は初期値 X_0 に設定し、所定回数（受信装置 200D と送信装置 100D で秘匿している乱数種が望ましい）を反復演算して変換した乱数種を求めることが考えられる。

【0082】

また、近年インターネットから銀行の預金口座にアクセス（ログイン）する際にパスワ

50

ードカードを利用するサービスが提供されている。ここで、サーバで生成される乱数とユーザが持つパスワードカードで生成される乱数は、時間を種として同じ乱数生成変換アルゴリズムから生成される。そして、常にサーバとユーザが持つパスワードカードの乱数が同期できるようお互い秘匿とする乱数として保持できる仕組みとなっており、このような乱数種を用いてもよい。

【0083】

上記第2～5の実施形態によれば、初期値 X_0 を送信の度（暗号文生成の度）に毎回初期ベクターとして変更を行ってベルヌーイシフト写像による平文の暗号化を行うので、毎回同じ平文（パスコード）でも通信上は異なる暗号文となるため、第三者（攻撃者）が同一の平文を通信していることが判らなくなり、安全性向上が期待できる。

10

【0084】

以上のように、お互い秘匿の乱数種を共通鍵暗号の共通鍵として捕えると公開鍵暗号方式に共通鍵暗号方式を追加した安全性強度を持たせることができる。公開鍵の法 N の鍵長はコンピュータの処理性能の向上と共に安全性確保のため年々大きくなる傾向があるが公開鍵の鍵長が大きくなると演算コストも大きくなるため、公開鍵の長さを抑えて秘匿の乱数種を共通鍵として与えて安全性を確保する形態をとることで安全性の強度と演算コストをトレードオフする構成をとることができる。

【0085】

RSA暗号では合同算術による演算を基礎とするが、本実施形態では、ベルヌーイシフト写像で演算することで除算剰余は不要となり、一回の引き算で行えるため演算コストを抑えることができる。また、式(4)の傾き A の値によって区間の分割数が決まる。そこで本実施形態では、暗号化処理において送信装置は平文を小分けにして平文（傾き A ）の値を小さくすることによって区間の検索回数の演算コストを少なくしても良い。このため送信側は処理能力の低い携帯端末で暗号化を行い、受信側は処理能力の高いサーバで復号を行うといったパスコード認証のような形態に好適である。

20

【0086】

本実施形態では、ベルヌーイシフト写像の初期値 X_0 を初期ベクターとして乱数種で変更する構成を採用している。このため、同じ平文を同じ公開鍵で暗号化すると乱数種に応じた毎回異なる暗号文を出力するようになり、同じ平文を暗号化していると第三者に知られる可能性が低下し、安全性が高くなる効果が期待できる。また、本実施形態を、初期値 X_0 となるお互い秘匿の乱数種を共通鍵暗号の共通鍵を用いるものであるとして捕えると、公開鍵暗号に追加して共通鍵暗号を追加した安全性強度を持たせる効果が期待できる。

30

【0087】

公開鍵の法 N の鍵長はコンピュータの処理性能の向上と共に安全性確保のため年々大きくなる傾向がある。公開鍵の鍵長が大きくなると演算コストが高くなるため、本実施形態を、公開鍵の長さを抑えて秘匿の乱数種を共通鍵として採用するものであると見立てることで、安全性の強度と演算コストをトレードオフする構成をとることができるものである。

【符号の説明】

【0088】

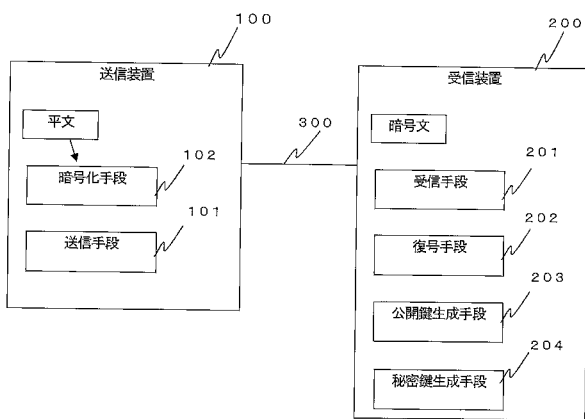
- 100、100A、100B、100C、100D 送信装置
- 101 送信手段
- 102、102B、102C、102D 暗号化手段
- 105 送信側初期値変更制御手段
- 200、200A、200B、200C、200D 受信装置
- 201 受信手段
- 202、202B、202C、202D 復号手段
- 203 公開鍵生成手段
- 204 秘密鍵生成手段
- 205 受信側初期値変更制御手段

40

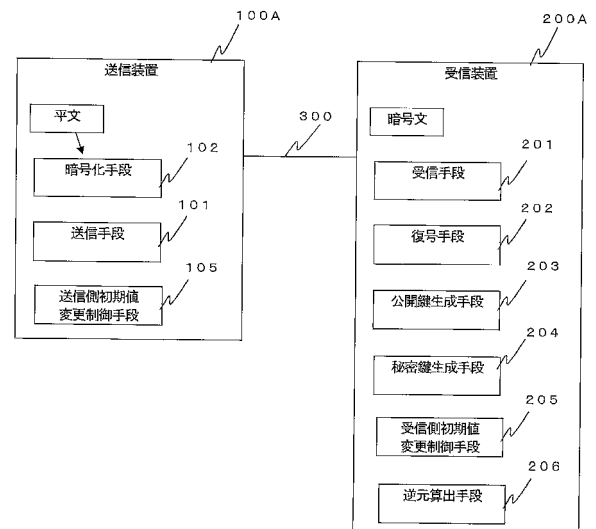
50

- 206 逆元算出手段
- 208 受信側乱数種生成手段
- 300 伝送路
- 400、400D 乱数種生成手段

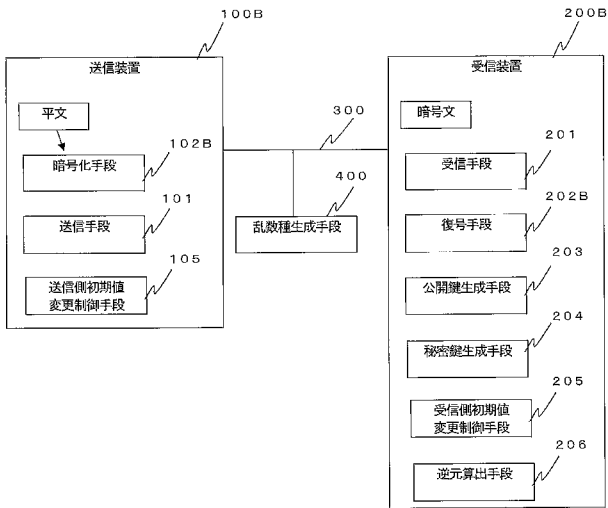
【図1】



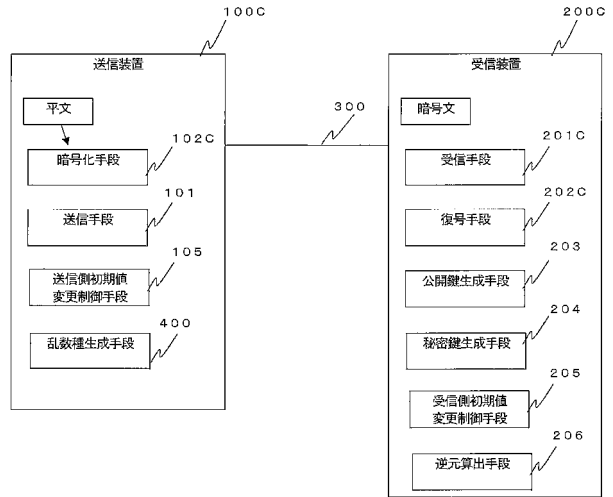
【図1A】



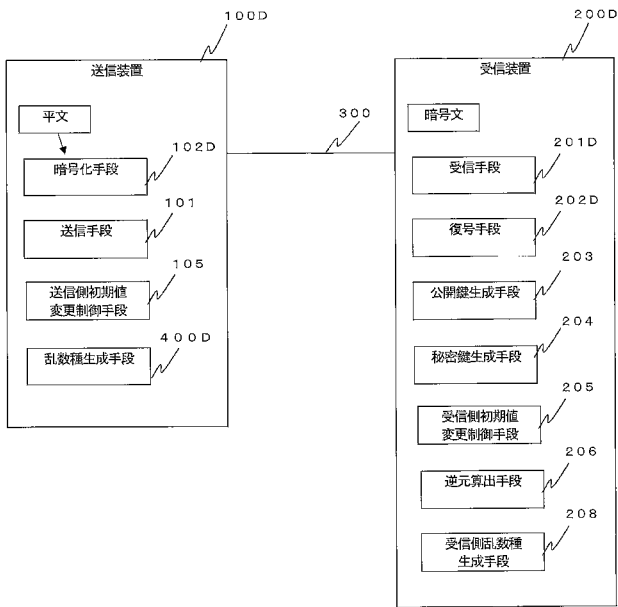
【図 1 B】



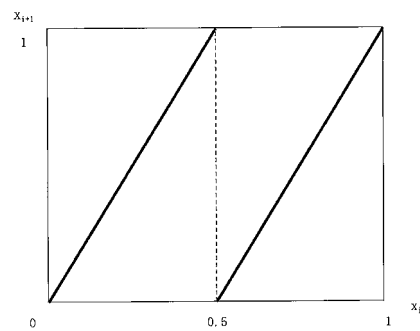
【図 1 C】



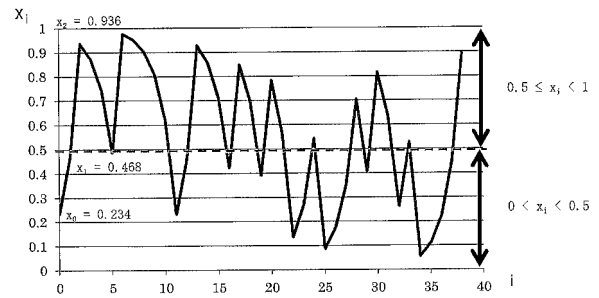
【図 1 D】



【図 2】



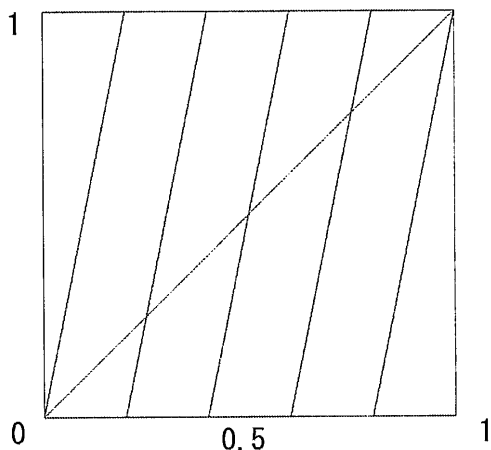
【図 3】



【 図 4 】

(A)	(B)
▽ベルヌーイシフト写像 $X_{i+1} = 2X_i \text{ or } 2X_i - 1$	▽合同算術 $2^i \pmod{11}$
$X_0 = 1/11$	$X_0 = 2^0 \equiv 1 \pmod{11}$
$X_1 = 2/11$	$X_1 = 2^1 \equiv 2 \pmod{11}$
$X_2 = 4/11$	$X_2 = 2^2 \equiv 4 \pmod{11}$
$X_3 = 8/11$	$X_3 = 2^3 \equiv 8 \pmod{11}$
$X_4 = 16/11 - 11/11 = 5/11$	$X_4 = 2^4 \equiv 2 \times 8 \equiv 5 \pmod{11}$
$X_5 = 10/11$	$X_5 = 2^5 \equiv 2 \times 5 \equiv 10 \pmod{11}$
$X_6 = 20/11 - 11/11 = 9/11$	$X_6 = 2^6 \equiv 2 \times 10 \equiv 9 \pmod{11}$
$X_7 = 18/11 - 11/11 = 7/11$	$X_7 = 2^7 \equiv 2 \times 9 \equiv 7 \pmod{11}$
$X_8 = 14/11 - 11/11 = 3/11$	$X_8 = 2^8 \equiv 2 \times 7 \equiv 3 \pmod{11}$
$X_9 = 6/11$	$X_9 = 2^9 \equiv 2 \times 3 \equiv 6 \pmod{11}$
$X_{10} = 12/11 - 11/11 = 1/11$	$X_{10} = 2^{10} \equiv 2 \times 6 \equiv 1 \pmod{11}$

【 図 5 】



【 図 6 】

(A)	(B)
▽ベルヌーイシフト写像 $X_{i+1} = 5X_i - M_i$	▽合同算術 $5^i \pmod{11}$
$X_0 = 1/11$	$X_0 = 5^0 \equiv 1 \pmod{11}$
$X_1 = 5/11$	$X_1 = 5^1 \equiv 5 \pmod{11}$
$X_2 = 25/11 - 22/11 = 3/11$	$X_2 = 5^2 \equiv 5 \times 5 \equiv 3 \pmod{11}$
$X_3 = 15/11 - 11/11 = 4/11$	$X_3 = 5^3 \equiv 5 \times 3 \equiv 4 \pmod{11}$
$X_4 = 20/11 - 11/11 = 9/11$	$X_4 = 5^4 \equiv 5 \times 4 \equiv 9 \pmod{11}$
$X_5 = 45/11 - 44/11 = 1/11$	$X_5 = 5^5 \equiv 5 \times 9 \equiv 1 \pmod{11}$

【 図 7 】

(A) ベルヌーイシフト写像

```
// BelnuMap (係数、最大区間、反復回数)
int BelnuMap( int A, int P, int ret ) {
    int interval[A];
    int i, j, x;

    // 各々の区間の境界値
    for(i=0; i<A; i++) {
        // 各区間をP倍に拡大し保存
        interval[i] = i * P;
    }

    // 写像の反復 (ret回)
    x = 1 * A; // 初期値X0=1⇒A倍に拡大
    for(i=0; i<ret; i++) {
        printf("%02d%t%-5d%t", i, x/A);

        // 区間の検索 (降順)
        j = A - 1;
        while( interval[j] > x ) {
            j--;
        }

        // ベルヌーイシフト写像の計算
        x = x - interval[j];
        x = A * x;
    }

    return x / A;
}
```

(B) 合同算術

```
// modulo (係数、法、乗数)
int modulo( int A, int P, int r ) {
    int i, remain;

    remain = 1;

    // Aの0からr乗までの余り
    for(i=0; i<r; i++) {
        printf("%02d%t%-5d%t", i, remain);

        // べき乗
        remain = A * remain;
        // 余り
        remain = remain % P;
    }

    return remain;
}
```

剰余算が1回の引き算で行えるようになる

【 図 8 】

(A)	(B)
i	i
X_i	$5^i \pmod{11}$
00 x=1	00 mod=1
01 x=5	01 mod=5
02 x=3	02 mod=3
03 x=4	03 mod=4
04 x=9	04 mod=9
05 x=1	05 mod=1
06 x=5	06 mod=5
07 x=3	07 mod=3
08 x=4	08 mod=4
09 x=9	09 mod=9
10 x=1	10 mod=1

【 図 9 】

一次元不定方程式の整数解を利用し
 $7x + 60y = 1$
を拡張したユークリッドの互除法を使い x と y を求める

STEP1

$$\begin{aligned} 60 &= 7 \times 8 + 4 \\ 7 &= 4 \times 1 + 3 \\ 4 &= 3 \times 1 + 1 \\ 3 &= 1 \times 2 + 0 \end{aligned}$$

STEP2

$$\begin{aligned} 4 &= 60 - 7 \times 8 \\ 3 &= 7 - 4 \times 1 \\ 1 &= 4 - 3 \times 1 \end{aligned}$$

STEP3

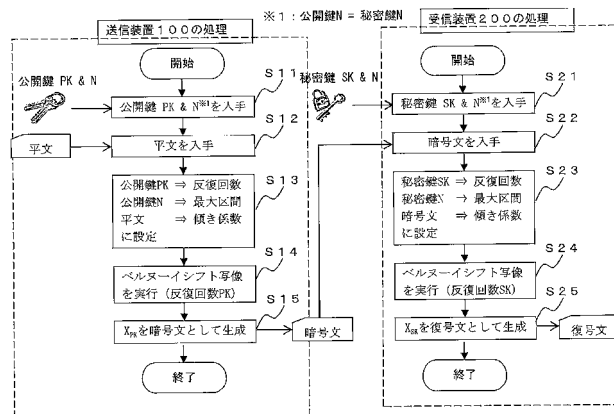
$$\begin{aligned} 1 &= 4 - 3 \times 1 \\ &= 4 - (7 - 4 \times 1) \times 1 \\ &= 7 \times (-1) + 4 \times 2 \quad \text{※式を整理} \\ &= 7 \times (-1) + (60 - 7 \times 8) \times 2 \\ &= 7 \times (-17) + 60 \times 2 \quad \text{※式を整理} \end{aligned}$$

余りが1となるまでユークリッドの互除法を行う

余りを左辺に移項し式を変形する

STEP2の下式の式から矢印で示したように値を代入して式を整理しながら $1 = 7x + 60y$ の形式に整理する
※下線の数値をくくりだすようにする

【 図 10 】



【図11】

	5	19	101
i	X_i	X_i	X_i
0	1	1	1
1	5	19	101
2	25	75	48
3	125	138	129
4	53	48	16
5	122	54	43
6	38	25	53
7	47	46	62

↑

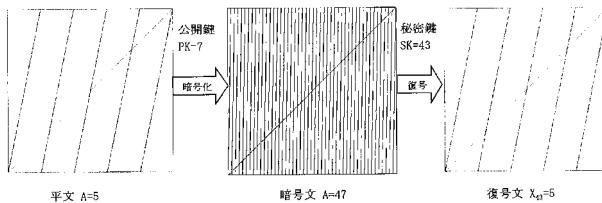
傾きA=5のペルヌーイシフト写像をPK=7回反復することで $X_7=47$ を得てこれを暗号文とする

	47	46	62
i	X_i	X_i	X_i
0	1	1	1
1	47	46	62
2	64	114	126
3	5	96	90
4	92	126	3
5	34	76	43
6	25	64	92
7	31	84	127
8	27	3	9
9	125	138	129
10	12	56	133
11	135	2	95
12	53	92	27
13	60	85	101
14	103	49	113
15	122	109	142
16	14	9	81
17	96	128	17
18	36	25	53
19	70	6	140
20	1	133	100
21	47	112	51
22	64	4	16
23	5	41	134
24	92	27	14
25	34	98	10
26	25	75	48
27	31	18	116
28	27	113	42
29	125	50	30
30	12	12	1
31	135	123	62
32	53	81	126
33	60	8	90
34	103	82	3
35	122	54	43
36	14	53	92
37	86	7	127
38	38	36	9
39	70	83	129
40	1	100	133
41	47	24	95
42	64	103	27
43	5	19	101

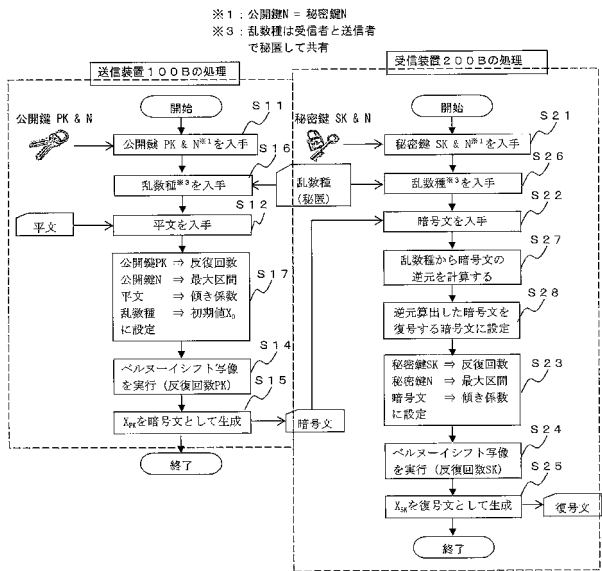
⇒

傾きA=47のペルヌーイシフト写像をSK=43回反復することで $X_{43}=6$ を得てこれを復号文とする

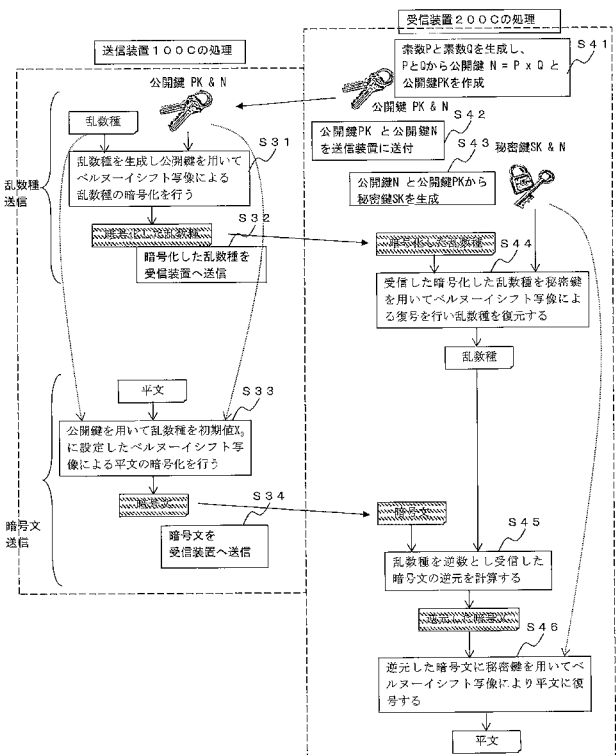
【図12】



【図13】



【図13A】



【図14】

平文			
	5	5	5
i	X_i	X_i	X_i
0	1	3	67
1	5	15	49
2	25	75	102
3	125	89	81
4	53	16	119
5	122	80	23
6	38	114	115
7	47	141	3

【図 15】

